

## Bestimmung der Kristall- und Molekülstruktur der Bicyclo[2,2,2]octadien-(2,5)-dicarbonsäure-(2,3), C<sub>10</sub>H<sub>10</sub>O<sub>4</sub> mit einer neuen Variante des symbolischen Additionsverfahrens

VON S. HECHTFISCHER\* W. STEIGEMANN UND W. HOPPE

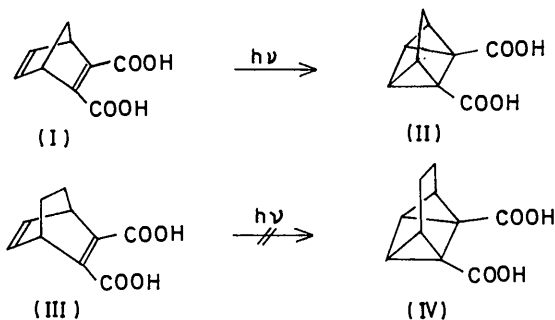
Abteilung für Röntgenstrukturforschung am Max-Planck-Institut für Eiweiss- und Lederforschung, München und Physikalisch-Chemisches Institut der T. H. München, Abteilung für Strukturforschung, München, Deutschland

(Eingegangen am 29. Juli 1969)

The crystal structure of bicyclo[2,2,2]octa-2,5-diene-2,3-dicarboxylic acid has been determined by a computer programmed version of the symbolic addition procedure and refined by least-squares methods. The crystals have the monoclinic space group  $P2_1/a$  with two molecules per asymmetric unit. The two carboxyl groups of the molecule lie slightly out of the plane of the adjacent double bond. The acidic hydrogen atoms form intra- and intermolecular hydrogen bonds connecting the molecules in endless chains.

### Einleitung

Wie Prinzbach & Druckrey (1968) zeigten, lässt sich Bicyclo[2,2,1]heptadien-(2,5)-dicarbonsäure-(2,3) (I) photochemisch zu einem Quadricyclansystem(II) isomerisieren; eine entsprechende Isomerisierung der Bicyclo[2,2,2]octadien-(2,5)-dicarbonsäure-(2,3) (III) zu einem Tetracyclus (IV) wurde nicht beobachtet.



Beim Übergang von Bicyclo[2,2,1]heptadiensystem (Norbornadiensystem) zum Bicyclo[2,2,2]octadiensystem wird die Brücke um ein C-Atom aufgeweitet. Diese geometrische Veränderung genügt anscheinend, entsprechende intramolekulare Cycloadditionen zu verhindern. Röntgenstrukturanalysen von (I) und (III) sollten aufklären, inwieweit dafür sterische Gründe eine Rolle spielen. Im folgenden ist die Strukturanalyse von (III) beschrieben.

### Experimentelles

Einkristalle wurden durch Umkristallisation aus Wasser gewonnen. Die Zellparameter und Raumgruppe wurden aus Präzessionsaufnahmen und Diffraktometermessungen erhalten. Die Werte sind in Tabelle 1 aufgeführt. Die Intensitäten wurden auf dem automati-

schen Einkristalldiffraktometer von Siemens mit Cu  $K\alpha$ -Strahlung vermessen ( $\theta$ - $2\theta$  Abtastung, 5-Punktmesung). Auf eine Absorptionskorrektur konnte verzichtet werden, da der lineare Absorptionskoeffizient klein war und der Kristall keine extremen Abmessungen zeigte.

Tabelle 1. Kristalldaten für Bicyclo[2,2,2]octadien-(2,5)-dicarbonsäure-(2,3)

Summenformel	C <sub>10</sub> H <sub>10</sub> O <sub>4</sub>
Raumgruppe	$P2_1/a$
<i>a</i>	15,275 ± 0,08 Å
<i>b</i>	16,023 ± 0,08
<i>c</i>	7,72 ± 0,05
$\beta$	107,01°
Mol/asymm. Einheit	2
$\rho$ beob. (Schwebemethode)	1,44 g.cm <sup>-3</sup>
Strahlung Cu $K\alpha$	1,5418 Å
Anzahl der unabhängigen Reflexe	2552
Linearer Absorptionskoeffizient $\mu$	5,8 cm <sup>-1</sup>

### Strukturbestimmung

(1) Zur Vorzeichenbestimmung wurde eine Variante des symbolischen Additionsverfahrens (Karle & Hauptman, 1953) angewandt, welches von uns in Richtung einer möglichst optimalen Durchführung in Rechenmaschinen programmiert worden war. In üblicher Weise wird von einem Satz grosser unitärer (oder normierter) Strukturformeln ausgegangen, von denen einzelne zur Ursprungsdefinition mit einem Vorzeichen versehen, während andere durch Symbole charakterisiert werden. Das iterative Programm geht formell von der Sayreschen Beziehung (Sayre, 1952)

$$s(\mathbf{h}) \approx s\left(\sum_{\mathbf{h}'} U_{\mathbf{h}'} \cdot U_{\mathbf{h}-\mathbf{h}'}\right) \quad (1)$$

aus, wobei explizit die Wahrscheinlichkeiten für die Vorzeichen der Tripelprodukte mit der von Cochran und Woolfson (Cochran & Woolfson, 1955) angegebene-

\* Auszug aus der Dissertation, München 1969.

nen Formel

$$P_+ = \frac{1}{2} + \frac{1}{2} \tanh \left( \frac{\epsilon_3}{\epsilon_2} |U_h \cdot U_{h'} \cdot U_{h-h'}| \right) \quad (2)$$

berechnet werden. Für jedes gefundene Vorzeichen wird ein Gewicht  $G_h$  ermittelt:

$$G_h = \frac{1}{m} \sum_{h'=1}^m s(h') \cdot s(h-h') \cdot P_+ \quad (3)$$

wobei  $m$  die Zahl der Beiträge in (1) ist.

Wesentlich ist nun, dass in den Zyklen Wahrscheinlichkeitsschwellen gesetzt werden, unter welcher Glieder nicht berücksichtigt werden. Dadurch erreicht man, insbesondere in den ersten Zyklen, dass nur wenige Doppelprodukte  $U_{h'} \cdot U_{h-h'}$  in der Beziehung (1) auftreten (im Extremfall 1 Doppelprodukt = Tripelproduktregel). Durch Herabsetzen der Schwelle in den weiteren Zyklen erreicht man eine Vergrößerung der Zahl der Beiträge in (1), eine Vergrößerung der Auswahl der berechneten Vorzeichen von Struktur Faktoren und eine Kontrolle bzw. eventuelle Korrektur bereits bestimmter Vorzeichen bzw. Symbolkombinationen. Im ersten Teil, wenn nur für wenige Struktur Faktoren Vorzeichen bzw. Symbole bekannt sind, wird nur mit Symbolkombinationen gearbeitet, die anschliessend (von Hand) in Vorzeichen umgewandelt werden. Im Teil 2 werden durch weiteres Herabsetzen der Schwelle weitere Vorzeichen bestimmt.

### (2) Ablauf der Vorzeichenbestimmung

Es wurden für jeden der 318 grössten unitären Struktur Faktoren die 50 grössten  $U_h \cdot U_{h-h'}$ -Beiträge ausgewählt. Folgende Vorzeichen bzw. Symbole wurden festgesetzt:

$h$	$k$	$l$	$U$	Vorzeichen
-6	0	7	0,376	+
-3	3	1	0,334	+

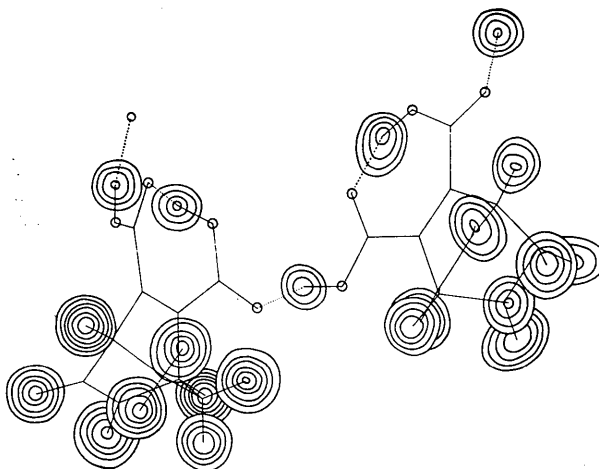


Fig. 1. Dreidimensionale Differenzfouriersynthese einer asymmetrischen Einheit von Bicyclo[2.2.2]octadien-(2,5)-dicarbonsäure-(2,3). Linienabstand:  $0,1 \text{ e.}\text{\AA}^{-3}$ , 1. Höhenlinie:  $0,1 \text{ e.}\text{\AA}^{-3}$ .

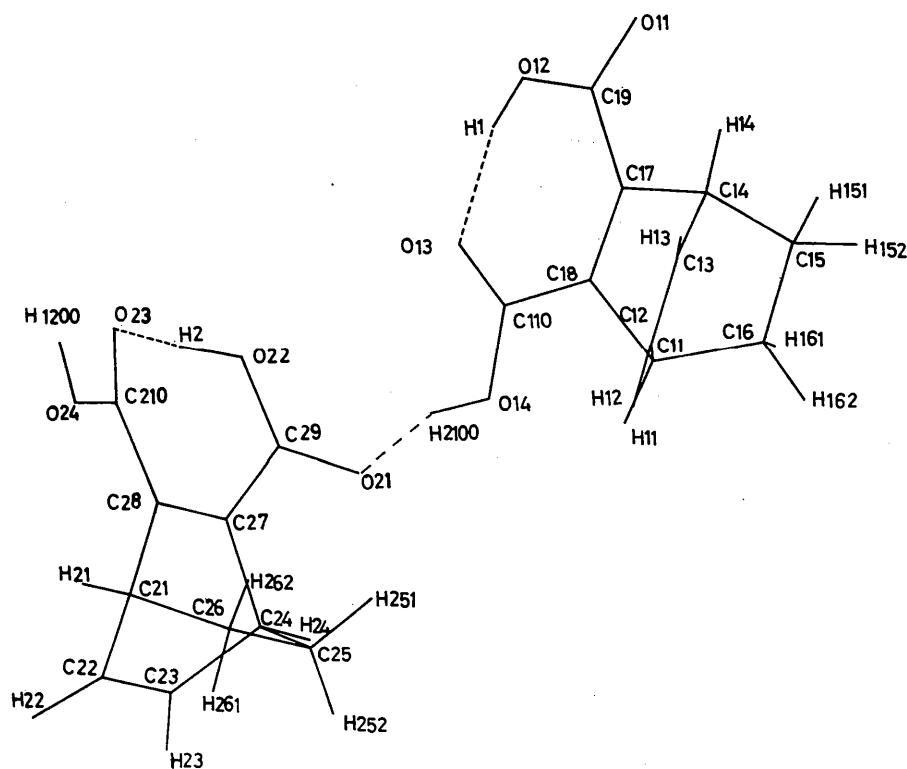


Fig. 2. Bezeichnung der Atome.

2	13	2	0,290	—	9	4	4	0,280	D
—3	1	7	0,295	A	8	9	2	0,277	E
2	12	3	0,309	B	5	9	2	0,278	F
5	11	2	0,287	C	7	6	4	0,272	G

Tabelle 2. Atomkoordinaten und thermische Parameter aller Atome

Der Temperaturfaktor  $T$  mit den  $\beta_{ij}$ -Größen lautet:

$$T = \exp [ - (\beta_{11}h^2 + \beta_{22}k^2 + \beta_{33}l^2 + 2\beta_{12}hk + 2\beta_{13}hl + 2\beta_{23}kl) ].$$

Sämtliche  $\beta_{ij}$  sind mit  $10^5$  multipliziert.

	$x$	$y$	$z$	$\beta_{11}$	$\beta_{22}$	$\beta_{33}$	$\beta_{12}$	$\beta_{13}$	$\beta_{23}$
O(11)	0,5158	0,8275	1,1589	552	607	1459	23	38	—228
O(12)	0,5870	0,7288	1,0596	589	495	1730	182	—49	115
O(13)	0,5763	0,6652	0,7616	760	533	2042	384	72	—41
O(14)	0,4963	0,6817	0,4765	533	410	1860	120	112	—270
O(24)	0,8707	0,3377	0,5193	366	506	1348	118	67	136
O(23)	0,7650	0,3745	0,6503	604	499	1075	149	294	145
O(22)	0,6369	0,4791	0,5806	634	451	1527	120	499	15
O(21)	0,5841	0,5674	0,3578	568	433	1795	220	235	—43
C(11)	0,3988	0,8205	0,5248	506	383	1321	124	69	0
C(12)	0,3034	0,8193	0,5498	428	377	2215	41	—40	43
C(13)	0,3026	0,8485	0,7135	394	541	2779	155	353	160
C(14)	0,3955	0,8760	0,8292	714	490	1618	290	194	—151
C(15)	0,4281	0,9455	0,7253	555	319	3513	74	—60	—207
C(16)	0,4298	0,9138	0,5453	518	358	2613	93	317	317
C(17)	0,4648	0,8056	0,8453	403	338	1514	65	131	—33
C(18)	0,4641	0,7746	0,6825	369	276	1454	55	157	40
C(19)	0,5246	0,7863	1,0314	384	388	1591	—48	109	—13
C(110)	0,5174	0,7026	0,6464	378	301	1794	35	207	5
C(21)	0,7657	0,3716	0,1676	408	438	1249	145	189	—16
C(22)	0,6811	0,3434	0,0215	537	414	1204	—6	162	—110
C(23)	0,6140	0,3996	—0,0156	405	507	1225	—38	47	—24
C(24)	0,6371	0,4786	0,0925	398	408	1230	122	94	120
C(25)	0,7227	0,5170	0,0510	581	438	1472	—6	270	140
C(26)	0,7990	0,4527	0,0931	438	617	1444	—57	304	—86
C(28)	0,7376	0,3996	0,3324	358	319	1115	27	137	6
C(27)	0,6693	0,4558	0,2929	330	336	1142	21	137	—7
C(210)	0,7912	0,36980	0,5151	414	295	1284	11	107	—12
C(29)	0,6273	0,5042	0,4152	362	349	1459	17	183	—79

	$x$	$y$	$z$	$B$
H(11)	0,3992	0,7965	0,4182	3,1
H(12)	0,2475	0,8018	0,4432	4,3
H(13)	0,2464	0,8524	0,7452	4,8
H(14)	0,3916	0,8907	0,9384	3,2
H(151)	0,4833	0,9660	0,8027	4,8
H(152)	0,3842	0,9963	0,7128	6,5
H(161)	0,4925	0,9212	0,5356	4,5
H(162)	0,3900	0,9446	0,4377	5,1
H(1)	0,5893	0,7024	0,9757	6,9
H(2100)	0,5353	0,6334	0,4557	7,3
H(21)	0,8112	0,3327	0,1931	0,9
H(22)	0,6802	0,2840	—0,0421	3,8
H(23)	0,5537	0,3933	—0,1167	2,9
H(24)	0,5852	0,5177	0,0666	0,9
H(251)	0,7434	0,5718	0,1296	1,7
H(252)	0,7048	0,5323	—0,0745	3,0
H(261)	0,8149	0,4343	—0,0165	2,8
H(262)	0,8520	0,4706	0,1796	3,0
H(2)	0,6768	0,4260	0,6101	6,1
H(1200)	0,9089	0,3286	0,6301	5,7

Mittlere Standardabweichungen der Koordinaten

	$x$	$y$	$z$
O	0,00015	0,00015	0,00030
C	0,00020	0,00020	0,00030
H	0,00300	0,00300	0,00500

Tabelle 3. Bindungslängen und Bindungswinkel  
In Klammern die Standardabweichungen in den letzten Stellen

Molekül 1		Molekül 2	
O(11)–C(19)	1,225 (4) Å	O(21)–C(29)	1,219 (2) Å
O(13)–O(110)	1,221 (3)	O(23)–C(210)	1,225 (2)
C(11)–C(12)	1,525 (5)	C(21)–C(22)	1,514 (4)
C(11)–C(18)	1,519 (4)	C(21)–C(28)	1,524 (4)
C(13)–C(14)	1,505 (4)	C(23)–C(24)	1,500 (4)
C(14)–C(17)	1,527 (4)	C(24)–C(27)	1,524 (3)
C(17)–C(18)	1,349 (4)	C(27)–C(28)	1,344 (4)
C(18)–C(110)	1,485 (4)	C(28)–C(210)	1,487 (2)
O(12)–C(19)	1,297 (4)	O(22)–C(29)	1,305 (2)
O(14)–C(110)	1,300 (3)	O(24)–C(210)	1,310 (2)
C(11)–C(16)	1,562 (4)	C(21)–C(26)	1,565 (5)
C(12)–C(13)	1,351 (5)	C(22)–C(23)	1,331 (4)
C(14)–C(15)	1,538 (5)	C(24)–C(25)	1,561 (5)
C(15)–C(16)	1,487 (6)	C(25)–C(26)	1,518 (5)
C(17)–C(19)	1,492 (3)	C(27)–C(29)	1,503 (3)
O(12)–H(1)	0,78 (5)	O(22)–H(2)	1,03 (4)
O(14)–H(2100)	1,02 (5)	O(24)–H(1200)	0,90 (4)
C(12)–H(12)	1,04 (3)	O(22)–H(22)	1,07 (4)
C(14)–H(14)	0,89 (4)	C(24)–H(24)	0,98 (3)
C(15)–H(152)	1,04 (4)	C(25)–H(252)	0,96 (3)
C(16)–H(161)	0,99 (5)	C(26)–H(261)	0,99 (4)
O(13)–H(1)	1,71 (5)	O(23)–H(2)	1,53 (4)
C(11)–H(11)	0,91 (4)	C(21)–H(21)	0,91 (3)
C(13)–H(13)	0,96 (3)	C(23)–H(23)	1,02 (3)
C(15)–H(151)	0,94 (4)	C(25)–H(251)	1,06 (3)
C(16)–H(162)	1,00 (4)	C(26)–H(262)	0,93 (3)
		O(21)–H(2100)	1,61 (5)

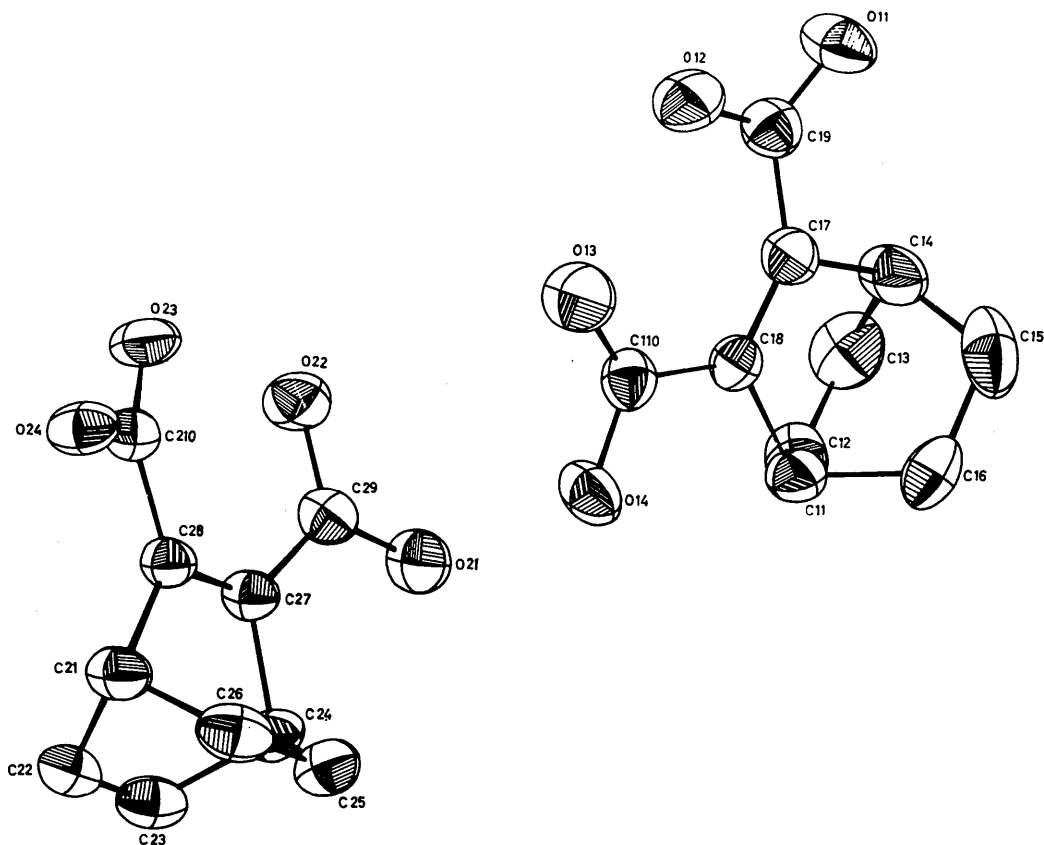


Fig. 3. Thermische Schwingungsellipsoide der Atome von Bicyclo[2.2.2]octadien-(2,5)-dicarbonsäure-(2,3).

Tabelle 3 (Fort.)

				Winkel			
Apex	End	End	Angle	Apex	End	End	Angle
C(110)	O(13)	C(18)	124,9 (3)°	C(210)	O(23)	C(28)	124,2 (1)°
C(110)	O(14)	C(18)	113,7 (2)	C(210)	O(24)	C(28)	113,5 (1)
C(19)	O(11)	C(17)	118,8 (3)	C(29)	O(21)	C(27)	119,0 (2)
C(19)	O(12)	C(17)	121,4 (3)	C(29)	O(22)	C(27)	120,6 (1)
C(110)	O(13)	O(14)	121,4 (3)	C(210)	O(23)	O(24)	122,3 (1)
C(19)	O(11)	O(12)	119,7 (2)	C(29)	O(21)	O(22)	120,4 (1)
C(11)	C(12)	C(16)	105,8 (3)	C(21)	C(22)	C(26)	105,8 (2)
C(11)	C(12)	C(18)	108,7 (3)	C(21)	C(22)	C(28)	108,8 (2)
C(11)	C(16)	C(18)	105,9 (2)	C(21)	C(26)	C(28)	105,3 (2)
C(12)	C(11)	C(13)	112,6 (3)	C(22)	C(21)	C(23)	113,2 (3)
C(13)	C(12)	C(14)	113,1 (3)	C(23)	C(22)	C(24)	114,2 (2)
C(14)	C(13)	C(15)	107,2 (3)	C(24)	C(23)	C(25)	107,1 (3)
C(14)	C(13)	C(17)	110,1 (3)	C(24)	C(23)	C(27)	108,4 (2)
C(14)	C(15)	C(17)	104,8 (3)	C(24)	C(25)	C(27)	105,2 (2)
C(15)	C(14)	C(16)	109,7 (3)	C(25)	C(24)	C(26)	109,0 (3)
C(16)	C(11)	C(15)	109,5 (3)	C(26)	C(21)	C(25)	109,3 (3)
C(17)	C(14)	C(18)	112,3 (2)	C(27)	C(24)	C(28)	112,9 (2)
C(17)	C(14)	C(19)	116,5 (3)	C(27)	C(24)	C(29)	116,3 (2)
C(17)	C(18)	C(19)	131,1 (3)	C(27)	C(28)	C(29)	130,5 (2)
C(18)	C(11)	C(17)	113,1 (2)	C(28)	C(21)	C(27)	113,4 (2)
C(18)	C(11)	C(110)	119,6 (2)	C(28)	C(21)	C(210)	119,1 (2)
C(18)	C(17)	C(110)	127,3 (2)	C(28)	C(27)	C(210)	127,3 (2)
O(12)	C(19)	H(1)	117 (3)	O(22)	C(29)	H(2)	111 (3)
O(13)	C(110)	H(1)	113 (2)	O(23)	C(210)	H(2)	110 (2)
O(14)	C(110)	H(2100)	112 (2)	O(24)	C(210)	H(1200)	115 (3)
C(11)	C(12)	H(11)	112 (2)	C(21)	C(22)	H(21)	113 (2)
C(11)	C(16)	H(11)	114 (2)	C(21)	C(26)	H(21)	110 (2)
C(11)	C(18)	H(11)	110 (2)	C(21)	C(28)	H(21)	114 (2)
C(12)	C(11)	H(12)	120 (2)	C(22)	C(21)	H(22)	120 (2)
C(12)	C(13)	H(12)	127 (2)	C(22)	C(23)	H(22)	127 (2)
C(13)	C(12)	H(13)	121 (2)	C(23)	C(22)	H(23)	124 (2)
C(13)	C(14)	H(13)	126 (2)	C(23)	C(24)	H(23)	121 (2)
C(14)	C(13)	H(14)	109 (2)	C(24)	C(23)	H(24)	112 (1)
C(14)	C(15)	H(14)	115 (2)	C(24)	C(25)	H(24)	112 (2)
C(14)	C(17)	H(14)	111 (2)	C(24)	C(27)	H(24)	111 (2)
C(15)	C(14)	H(151)	107 (3)	C(25)	C(24)	H(251)	110 (2)
C(15)	C(14)	H(152)	108 (3)	C(25)	C(24)	H(252)	107 (2)
C(15)	C(16)	H(151)	117 (3)	C(25)	C(26)	H(251)	111 (1)
C(15)	C(16)	H(152)	112 (2)	C(25)	C(26)	H(252)	111 (2)
C(15)	H(151)	H(152)	103 (3)	C(25)	H(251)	H(252)	108 (2)
C(16)	C(11)	H(162)	107 (2)	C(26)	C(21)	H(262)	107 (2)
C(16)	C(11)	H(161)	112 (2)	C(26)	C(21)	H(261)	105 (2)
C(16)	C(15)	H(162)	116 (2)	C(26)	C(25)	H(262)	113 (2)
C(16)	C(15)	H(161)	108 (2)	C(26)	C(25)	H(261)	113 (2)
C(16)	H(162)	H(161)	104 (3)	C(26)	H(262)	H(261)	109 (3)
				O(21)	C(29)	H(2100)	131 (2)

Zunächst wurden nur Beiträge berücksichtigt, deren Wahrscheinlichkeit  $P_+$  für positives Tripelprodukt  $U_h U_h' U_{h-h'}$  über der Schwelle 0,98 lag. Das Verfahren wurde so lange zyklisch wiederholt, bis aus den vorhandenen Vorzeichen keine weiteren mehr berechnet werden konnten. Dann wurde die Schwelle der Wahrscheinlichkeit zweimal um 0,01 heruntersetzt und die Vorzeichenberechnung neu begonnen. Zur Umwandlung der Symbole in Vorzeichen wird die Tripelproduktregel ausgenutzt, nach der alle Beiträge in (1) dasselbe Vorzeichen haben. Damit wurden die folgenden Beziehungen zwischen den Symbolen gefunden:

$$\begin{aligned}
 G &= CF \\
 A &= B \\
 B &= F \\
 G &= CB
 \end{aligned}$$

$$\begin{aligned}
 E &= -C \\
 CB &= FGA \\
 B &= -1
 \end{aligned}$$

Diese Gleichungen werden durch die vier folgenden Vorzeichensätze erfüllt:

	1	2	3	4
A	-	-	-	-
B	-	-	-	-
F	-	-	-	-
C	+	+	-	-
E	-	-	+	+
G	-	-	+	+
D	+	-	+	-

Einige hier nicht aufgeführte Symbolkombinationen deuteten auf positives D hin. Deshalb wurde zunächst

mit den Vorzeichensätzen 1 und 3 die Rechnung neu begonnen. Der erste Teil verläuft analog zur Rechnung mit Symbolen. Im zweiten Teil wurden Vorzeichen als bekannt angesehen und zur Berechnung anderer weiter verwendet, wenn das nach (3) zu berechnende Gewicht  $|G_h| > 0,25$  und die Zahl der Beiträge  $m \geq 4$  war. Die

Rechnung wurde so lange zyklisch wiederholt, bis sich die berechneten Vorzeichen nicht mehr veränderten. Mit den 318 aus dem Vorzeichensatz 1 berechneten Vorzeichen wurde eine Fouriersynthese mit den  $U_h$  berechnet, bei der die 28 Atome der Struktur den 28 höchsten Maxima zugeordnet werden konnten. Eine mit den

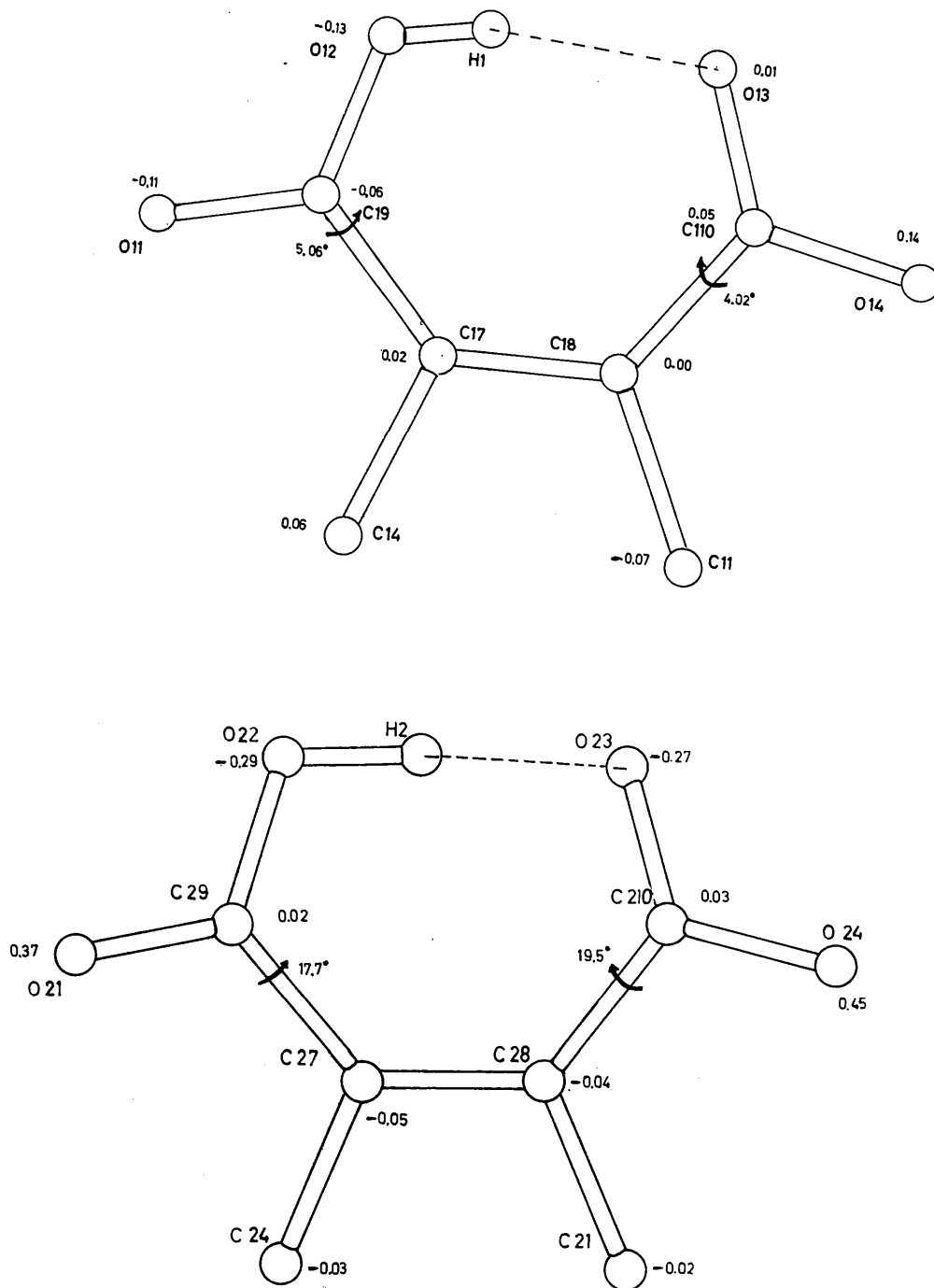


Fig. 4. Die Maleinsäuresysteme der beiden Moleküle der asymmetrischen Einheit. Die bei den Atomen stehenden Zahlen geben die Abstände von der durch die Atome C(11), C(14), C(17), C(18), C(19), C(110) bzw. C(21), C(24), C(27), C(28), C(29), C(210) gelegten besten Ebene an.

gefundenen Atomlagen durchgeführte Berechnung der 2552 Strukturformfaktoren ergab einen  $R$ -Faktor ( $R = \frac{\sum |F_o - F_c|}{\sum F_o}$ ) von 0,283. Bei einer nachträglichen Kontrolle hat sich ein Vorzeichen als falsch erwiesen.

### Verfeinerung

Drei Zyklen isotroper Verfeinerung mit dem *ORFLS*-Rechenprogramm von Busing, Martin & Levy (1962) liessen den  $R$ -Faktor von 28,3% auf 13,5% sinken. Zwei Zyklen anisotroper Verfeinerung verbesserten den  $R$ -Wert auf 8,8%. Eine anschließende Differenzfouriersynthese zeigte sämtliche Wasserstoffatome. Eine Strukturformfaktorrechnung mit den gefundenen Wasserstofflagen lieferte  $R = 6,6\%$ .

Eine Verfeinerung der Lageparameter und isotroper Temperaturfaktoren für die Wasserstoffatome reduzierten den  $R$ -Faktor auf 5,9%. Ein abschliessender Verfeinerungszyklus sämtlicher Parameter (Leichtatome anisotrop, H-Atome isotrop) brachte den endgültigen  $R$ -Wert von 5,0%. Die mittleren Verschiebungen in den Lageparametern der Leichtatome betragen 30% der jeweiligen Standardabweichungen. Fig. 1 zeigt die Differenzfouriersynthese mit endverfeinerten Parametern ohne eingegebene H-Atome. Zur Verfeinerung wurden Formfaktoren aus den *International Tables for X-ray Crystallography* (1962) verwendet. Sämtliche Strukturformfaktoren hatten Einheitsgewicht.

### Diskussion

Die endgültigen Koordinaten und Temperaturfaktoren der Atome sind in Tabelle 2 zusammengestellt. Bindungslängen und Bindungswinkel finden sich in Ta-

belle 3. Die Bezeichnung der Atome hierzu ist aus Fig. 2 zu entnehmen.

Wenn man, wie im vorliegenden Fall, zwei unabhängige Moleküle in der asymmetrischen Einheit hat, ist ein Vergleich der Geometrie der beiden Moleküle möglich. Auffallend ist der Unterschied in den beiden Bindungslängen C(15)–C(16) und C(25)–C(26). Ein Grund dafür kann folgender sein: Während die beiden Doppelbindungen im Bicyclosystem durch  $sp^2$ -Hybridisierung in ihrer Lage festgelegt sind, schwankt die Äthyl- enbrücke möglicherweise zwischen zwei Stellungen maximaler Torsion. In der Verfeinerung zeigt sich das in starken anisotropen Temperaturfaktoren (Fig. 3). Die Bindungslängen sind denen der von Ermer & Dunitz (1968) gelösten Struktur der Bicyclo[2,2,2]octandicarbonsäure-(1,4) vergleichbar. Nur scheint bei dieser Verbindung keine strenge Lokalisierung der Einfach- und Doppelbindungen der Carboxylgruppen vorzuliegen.

Infolge einer intramolekularen Wasserstoffbrücke und partiellen Doppelbindungscharakter [man beachte die Verkürzung der Bindungen C(17)–C(19), C(18)–C(110), C(27)–C(29), C(28)–C(210)] liegen die Carboxylgruppen annähernd in der Ebene der Doppelbindung der Maleinsäure-Gruppierung. In den beiden Molekülen der asymmetrischen Einheit sind sie aus Packungsgründen verschieden weit aus dieser Ebene herausgedreht (Fig. 4). Die Abstände der Atome des Maleinsäuresystems von seiner besten Ebene sieht man in Fig. 4.

Von Interesse ist ein Vergleich des Maleinsäuresystems dieser Struktur mit dem entsprechenden des Kaliumhydrogenchlormaleats (Ellison & Levy 1965). Siehe dazu Fig. 5. Der auffallendste Unterschied zwischen beiden Strukturen besteht in der Verschiedenar-

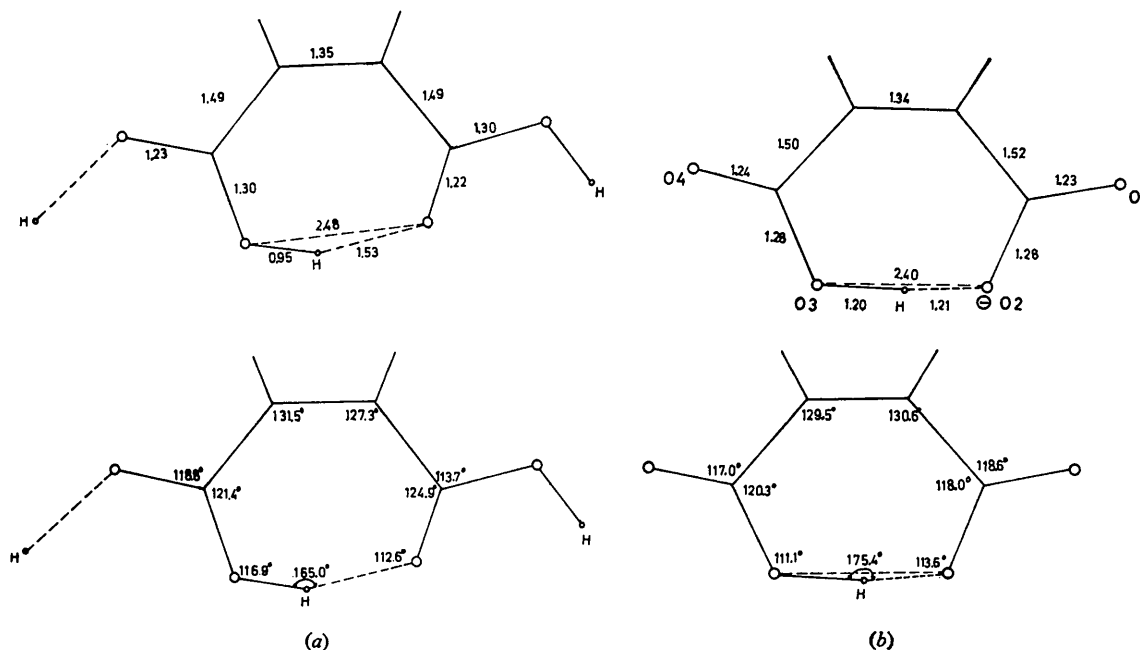


Fig. 5. Vergleich des Maleinsäuresystems aus (a) Bicyclo[2.2.2]octadien-(2,5)-dicarbonsäure-(2,3) und (b) Kaliumhydrogenchlormaleat.



Tabelle 4 (Fort.)

11 70 -65	7 76 -63	13 10 -21	3 62 -69	5 85 -88	1 36 -65	3,5,6	-12,8,6	6 39 36	5 29 -23	4 5 13
8 33 23	5 38 -32	13 36 -44	5 117 -115	3 22 -12	3 60 -69	9 81 -96	0 24 37	10 63 61	2 60 73	7 96 91
9 48 -45	4 339 -133	12 125 121	6 295 -302	2 22 19	4 136 135	8 108 149	2 32 38	11 72 79	1 29 32	2 141 142
	3 95 -36	11 22 19	7 161 -132	1 66 42	5 114 126	7 75 -78	2 150 103	0 77 77	8 16 24	1 78 -79
	2 87 -62	12 122 -116	8 76 -62	6 16 -13	6 10 -13	6 107 -107	3 151 136	0 402 396	1 108 110	3 57 60
	1 355 -132	10 153 -167	10 69 -69	9 108 -142	7 39 -32	4 153 -143	5 23 27	2 24 4		-6,7,7
	0 287 236	1,4,6	10 49 49	9 108 -142	7 39 -32	3 252 294	6 18 -9	3 71 -70	0 244 251	9 4 -39
11 70 -65	7 76 -63	13 10 -21	3 62 -69	5 85 -88	1 36 -65	3,5,6	-12,8,6	6 39 36	5 29 -23	4 5 13
8 33 23	5 38 -32	13 36 -44	5 117 -115	3 22 -12	3 60 -69	9 81 -96	0 24 37	10 63 61	2 60 73	7 96 91
9 48 -45	4 339 -133	12 125 121	6 295 -302	2 22 19	4 136 135	8 108 149	2 32 38	11 72 79	1 29 32	2 141 142
	3 95 -36	11 22 19	7 161 -132	1 66 42	5 114 126	7 75 -78	2 150 103	0 77 77	8 16 24	1 78 -79
	2 87 -62	12 122 -116	8 76 -62	6 16 -13	6 10 -13	6 107 -107	3 151 136	0 402 396	1 108 110	3 57 60
	1 355 -132	10 153 -167	10 69 -69	9 108 -142	7 39 -32	4 153 -143	5 23 27	2 24 4		-6,7,7
	0 287 236	1,4,6	10 49 49	9 108 -142	7 39 -32	3 252 294	6 18 -9	3 71 -70	0 244 251	9 4 -39
8 102 -124	5,8,6	2 37 -18	6,8,6	12 9 -6	-3,5,5	1 5 3	8 14 -0	5 176 -174	2 5 6	7 21 20
7 116 72	1,11,12	3 385 -376	9 54 56	0 117 -112	14 35 -29	12 46 -51	-11,6,6	6 174 70	2 29 30	6 16 21
6 26 -23	11 272 266	4 24 -7	7 99 4	4 23 -12	14 35 -29	12 46 -51	6 174 70	2 29 30	6 16 21	6 16 21
5 24 -25	12 66 60	5 170 -169	8 84 -85	2 21 21	13 74 -79	10 116 -121	9 37 -36	9 131 128	6 104 106	3 38 34
4 191 186	13 60 63	4 36 -32	7 75 -80	3 116 124	12 74 -79	10 116 -121	9 37 -36	9 131 128	6 104 106	3 38 34
3 237 237	14 12 5	7 148 152	6 61 -67	4 89 88	11 146 -157		6 27 -26	7 190 190	-3,4,6	8 71 69
2 57 -51	15 26 -21	8 10 7	5 72 68	5 17 18	10 90 -55		7 190 190	11 46 -41	12 91 -87	9 13 10
1 146 156	1 180 181	0 18 23	4 16 3	6 32 -40	9 216 233		6 27 -26	7 190 190	11 46 -41	12 91 -87
0 197 -226	2 455 -696	10 59 -38	3 95 0	7 35 -29	6 48 -48		6 27 -26	7 190 190	11 46 -41	12 91 -87
	3 85 61	11 17 -15	2 91 -122	8 12 3	7 10 -154		6 27 -26	7 190 190	11 46 -41	12 91 -87
	4 171 187	12 105 -105	1 31 -21	9 92 96	6 32 -40		6 27 -26	7 190 190	11 46 -41	12 91 -87
	5 85 61	10 59 -38	3 95 0	7 35 -29	6 48 -48		6 27 -26	7 190 190	11 46 -41	12 91 -87
	6 171 187	12 105 -105	1 31 -21	9 92 96	6 32 -40		6 27 -26	7 190 190	11 46 -41	12 91 -87
	7 85 61	11 17 -15	2 91 -122	8 12 3	7 10 -154		6 27 -26	7 190 190	11 46 -41	12 91 -87
	8 171 187	12 105 -105	1 31 -21	9 92 96	6 32 -40		6 27 -26	7 190 190	11 46 -41	12 91 -87
	9 85 61	10 59 -38	3 95 0	7 35 -29	6 48 -48		6 27 -26	7 190 190	11 46 -41	12 91 -87
	10 171 187	12 105 -105	1 31 -21	9 92 96	6 32 -40		6 27 -26	7 190 190	11 46 -41	12 91 -87
	11 85 61	11 17 -15	2 91 -122	8 12 3	7 10 -154		6 27 -26	7 190 190	11 46 -41	12 91 -87
	12 171 187	12 105 -105	1 31 -21	9 92 96	6 32 -40		6 27 -26	7 190 190	11 46 -41	12 91 -87
	1 41 43	9 201 -214	2,8,6	12 59 52	2 125 -112		6 27 -26	7 190 190	11 46 -41	12 91 -87
	2 238 214		1 63 43	11 66 64	1 402 -397		6 27 -26	7 190 190	11 46 -41	12 91 -87
	3 18 76		2 77 -65	9 161 -113	-2,8,5		6 27 -26	7 190 190	11 46 -41	12 91 -87
	4 132 129		8 17 -4	8 36 -34			6 27 -26	7 190 190	11 46 -41	12 91 -87
	5 153 197		9 17 -18	10 21 -16			6 27 -26	7 190 190	11 46 -41	12 91 -87
	6 194 -102		0 5 59 -36	6 107 104			6 27 -26	7 190 190	11 46 -41	12 91 -87
	7 191 -152		5 45 50 -55	5 45 50 -55			6 27 -26	7 190 190	11 46 -41	12 91 -87
	8 121 -125		3 12 -14	14 5 -29			6 27 -26	7 190 190	11 46 -41	12 91 -87
			9 151 111	2 113 112			6 27 -26	7 190 190	11 46 -41	12 91 -87
			10 63 -64	10 63 -64			6 27 -26	7 190 190	11 46 -41	12 91 -87
			11 132 -128	16 6,8,6			6 27 -26	7 190 190	11 46 -41	12 91 -87
			12 116 116	7 28 27			6 27 -26	7 190 190	11 46 -41	12 91 -87
			13 116 116	7 28 27			6 27 -26	7 190 190	11 46 -41	12 91 -87
			14 116 116	7 28 27			6 27 -26	7 190 190	11 46 -41	12 91 -87
			15 116 116	7 28 27			6 27 -26	7 190 190	11 46 -41	12 91 -87
			16 116 116	7 28 27			6 27 -26	7 190 190	11 46 -41	12 91 -87
			17 116 116	7 28 27			6 27 -26	7 190 190	11 46 -41	12 91 -87
			18 116 116	7 28 27			6 27 -26	7 190 190	11 46 -41	12 91 -87
			19 116 116	7 28 27			6 27 -26	7 190 190	11 46 -41	12 91 -87
			20 116 116	7 28 27			6 27 -26	7 190 190	11 46 -41	12 91 -87
			21 116 116	7 28 27			6 27 -26	7 190 190	11 46 -41	12 91 -87
			22 116 116	7 28 27			6 27 -26	7 190 190	11 46 -41	12 91 -87
			23 116 116	7 28 27			6 27 -26	7 190 190	11 46 -41	12 91 -87
			24 116 116	7 28 27			6 27 -26	7 190 190	11 46 -41	12 91 -87
			25 116 116	7 28 27			6 27 -26	7 190 190	11 46 -41	12 91 -87
			26 116 116	7 28 27			6 27 -26	7 190 190	11 46 -41	12 91 -87
			27 116 116	7 28 27			6 27 -26	7 190 190	11 46 -41	12 91 -87
			28 116 116	7 28 27			6 27 -26	7 190 190	11 46 -41	12 91 -87
			29 116 116	7 28 27			6 27 -26	7 190 190	11 46 -41	12 91 -87
			30 116 116	7 28 27			6 27 -26	7 190 190	11 46 -41	12 91 -87
			31 116 116	7 28 27			6 27 -26	7 190 190	11 46 -41	12 91 -87
			32 116 116	7 28 27			6 27 -26	7 190 190	11 46 -41	12 91 -87
			33 116 116	7 28 27			6 27 -26	7 190 190	11 46 -41	12 91 -87
			34 116 116	7 28 27			6 27 -26	7 190 190	11 46 -41	12 91 -87
			35 116 116	7 28 27			6 27 -26	7 190 190	11 46 -41	12 91 -87
			36 116 116	7 28 27			6 27 -26	7 190 190	11 46 -41	12 91 -87
			37 116 116	7 28 27			6 27 -26	7 190 190	11 46 -41	12 91 -87
			38 116 116	7 28 27			6 27 -26	7 190 190	11 46 -41	12 91 -87
			39 116 116	7 28 27			6 27 -26	7 190 190	11 46 -41	12 91 -87
			40 116 116	7 28 27			6 27 -26	7 190 190	11 46 -41	12 91 -87
			41 116 116	7 28 27			6 27 -26	7 190 190	11 46 -41	12 91 -87
			42 116 116	7 28 27			6 27 -26	7 190 190	11 46 -41	12 91 -87
			43 116 116	7 28 27			6 27 -26	7 190 190	11 46 -41	12 91 -87
			44 116 116	7 28 27			6 27 -26	7 190 190	11 46 -41	12 91 -87
			45 116 116	7 28 27			6 27 -26	7 190 190	11 46 -41	12 91 -87
			46 116 116	7 28 27			6 27 -26	7 190 190	11 46 -41	12 91 -87
			47 116 116	7 28 27			6 27 -26	7 190 190	11 46 -41	12 91 -87
			48 116 116	7 28 27			6 27 -26	7 190 190	11 46 -41	12 91 -87
			49 116 116	7 28 27			6 27 -26	7 190 190	11 46 -41	12 91 -87
			50 116 116	7 28 27			6 27 -26	7 190 190	11 46 -41	12 91 -87
			51 116 116	7 28 27			6 27 -26	7 190 190	11 46 -41	12 91 -87
			52 116 116	7 28 27			6 27 -26	7 190 190	11 46 -41	12 91 -87
			53 116 116	7 28 27			6 27 -26	7 190 190	11 46 -41	12 91 -87
			54 116 116	7 28 27			6 27 -26	7 190 190	11 46 -41	12 91 -87
			55 116 116	7 28 27			6 27 -26	7 190 190	11 46 -41	12 91 -87
			56 116 116	7 28 27			6 27 -26	7 190 190	11 46 -41	12 91 -87
			57 116 116	7 28 27			6 27 -26	7 190 190	11 46 -41	12 91 -87
			58 116 116	7 28 27			6 27 -26	7 190 190	11 46 -41	12 91 -87
			59 116 116	7 28 27			6 27 -26	7 190 190	11 46 -41	12 91 -87
			60 116 116	7 28 27			6 27 -26	7 190 190	11 46 -41	12 91 -87
			61 116 116	7 28 27			6 27 -26	7 190 190	11 46 -41	12 91 -87
			62 116 116	7 28 27			6 27 -26			

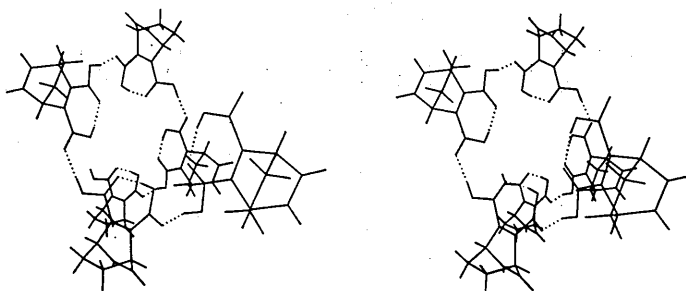


Fig. 6. Stereobild eines Ausschnitts der Molekülschraube entlang der zweizähligen Schraubenachse.

Diese Arbeit wurde von der Deutschen Forschungsgemeinschaft, dem Fonds der Chemischen Industrie und der Badischen Anilin & Sodafabrik unterstützt. Für die hochherzige Förderung sprechen wir unseren besten Dank aus.

#### Literatur

BUSING, W. R., MARTIN, K. O. & LEVY, H. A. (1962). *ORFLS*. ORNL-TM305, Oak Ridge National Laboratory, Oak Ridge, Tennessee.

COCHRAN, W. & WOOLFSON, M. M. (1955). *Acta Cryst.* **8**, 1.

ELLISON, R. D. & LEVY, H. A. (1965). *Acta Cryst.* **19**, 260.  
ERMER, O. & DUNITZ, J. D. (1968). *Chem. Comm.* p. 567.  
*International Tables for X-ray Crystallography* (1962). Vol. III. Birmingham: Kynoch Press.

KARLE, J. & HAUPTMAN, H. (1953). *ACA Monograph* No. 3. Wilmington: The Letter Shop.

PRINZBACH, H. & DRUCKREY, W. (1968). *Tetrahedron Letters*, 4285.

SAYRE, D. (1952). *Acta Cryst.* **5**, 60.

*Acta Cryst.* (1970). **B26**, 1722

### The Crystal Structure of DL-Histidine Hydrochloride Dihydrate

BY I. BENNETT, A. G. H. DAVIDSON, MARJORIE M. HARDING AND ISABELLE MORELLE

*Department of Chemistry, University of Edinburgh, West Mains Road, Edinburgh, EH9 3JJ, Scotland*

(Received 12 August 1969)

The structure of DL-histidine hydrochloride dihydrate has been determined from three-dimensional X-ray diffraction data and refined until  $R=0.108$  and the standard deviations in bond lengths are  $\sim 0.01$  Å. The crystals are monoclinic,  $P2_1/a$ , with  $a=8.87$ ,  $b=15.30$ ,  $c=8.48$  Å,  $\beta=114.5^\circ$ . The histidine cation,  $C_3N_2H_7^+ \cdot CH_2 \cdot CH(NH_2) \cdot COO^-$ , is fully extended, with the imidazole group *trans* to the carboxyl group across the  $C_\alpha$ - $C_\beta$  bond; in this and a number of smaller ways the conformation is different from that of the chemically identical cation in L-histidine hydrochloride monohydrate [Donohue & Caron, *Acta Cryst.* (1964) **17**, 1178]. Despite the difference in conformation the bond lengths in the DL- and L-crystals agree very closely.

We have determined the crystal structure of DL-histidine hydrochloride dihydrate (A) so that we can compare the histidine cation here with the histidine group in various other situations. The structure of L-histidine hydrochloride monohydrate is already known (Donohue, Lavine & Rollett, 1956; Donohue & Caron, 1964, subsequently referred to as DC), and also the structure of various metal complexes containing the histidine anion such as (B), bis(histidino)cobalt(II) (Candlin & Harding, 1969; Harding & Long, 1968a; see also the review by Freeman, 1967).

